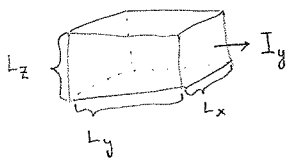


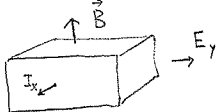
### 3.2 Quanten-Hall-Effekt

[Nobel-Preis von Kitzing 1985; nobelpiece.org]



$$\text{Elektrischer Widerstand: } R_{yx} := \frac{V_y}{I_y} \quad \begin{matrix} \leftarrow \text{Potentialdifferenz} \\ \leftarrow \text{Strom} \end{matrix}$$

$$= \frac{L_y \cdot E_y}{L_x \cdot L_z \cdot j_y} \quad \begin{matrix} \leftarrow \text{elektrisches Feld} \\ \leftarrow \text{Stromdichte} \end{matrix}$$



Wenn aber ein Magnetfeld in z-Richtung eingeschaltet wird, gibt es einen Strom auch in die x-Richtung!

$$R_{yx} := \frac{V_y}{I_x} = \mathcal{O}(B_z)$$

Was ist die genaue Beziehung zwischen  $R_{yx}$  und  $B_z$ ?

Klassisch:

$$\text{Lorentz-Kraft: } \vec{F} = q \left( \vec{E} + \frac{\vec{v}}{c} \times \vec{B} \right)$$

(Außerdem fühlen die Ladungsträger auch eine Reibungskraft.)

Suche nach einer stationären Lösung, unter Vernachlässigung der Reibungskraft ( $T \approx 0 \text{ K}$ ):

$$\vec{F} = q \left( E_y \vec{e}_y + \frac{v_x}{c} \underbrace{\vec{e}_x \times \vec{e}_z B_z}_{-\vec{e}_y} \right) = 0$$

$$\Leftrightarrow E_y = -\frac{v_x}{c} B_z$$

$$\text{Strom} = \frac{\text{Ladung}}{\text{Zeit}} = \frac{\text{Ladung} \times \text{Fläche} \times \text{Geschwindigkeit}}{\text{Volumen}} = q n v L_y L_z \cdot v_x$$

$$\Leftrightarrow R_{yx} = \frac{V_y}{I_x} = \frac{L_y \cdot E_y}{q n \cdot L_y L_z \cdot v_x} = \frac{L_y E_y}{q n L_z \cdot c v_x}$$

$$= \frac{B_z}{q n c L_z}$$

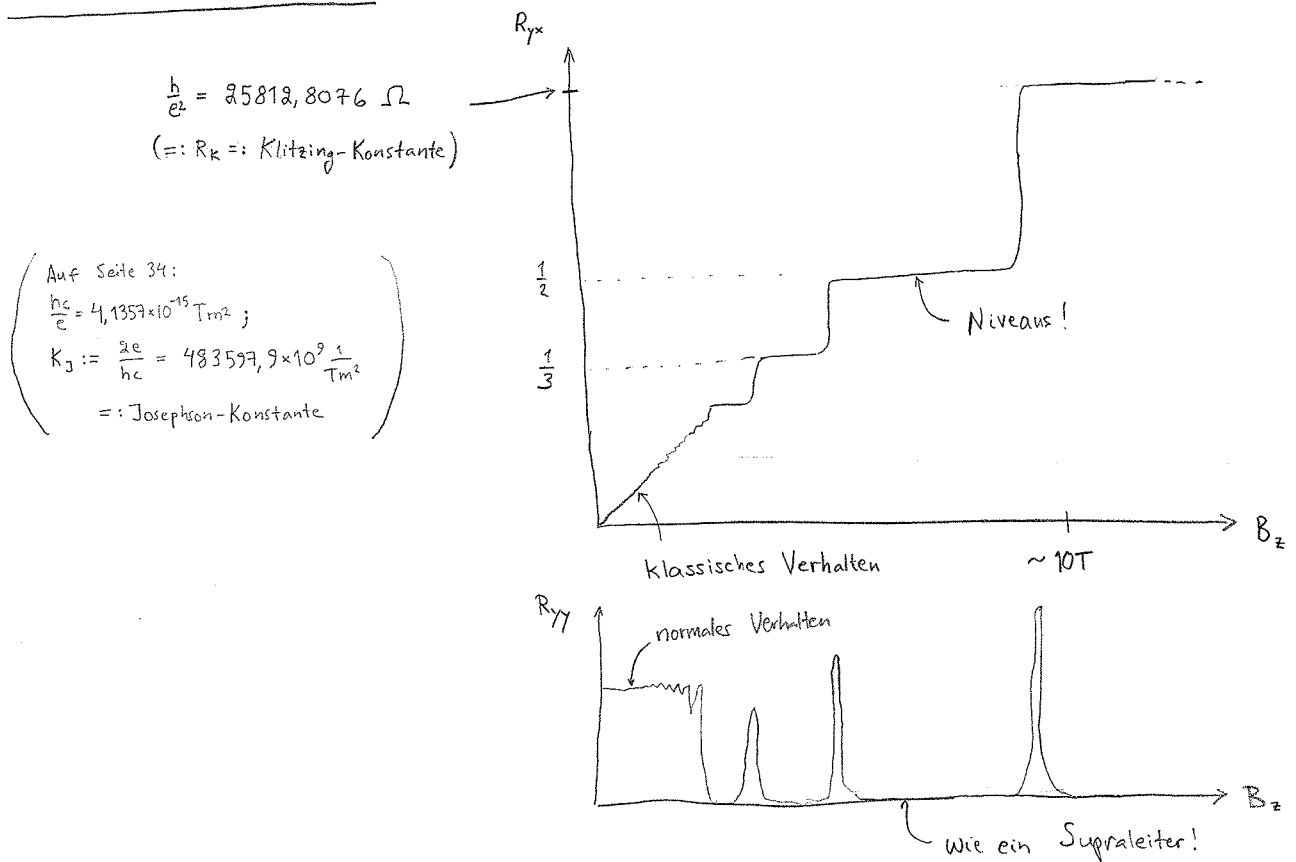
Wenn es insgesamt  $N$  Ladungsträger in unserer Probe gibt, dann ist  $n = \frac{N}{L_x L_y L_z}$  und

$$n \cdot L_z = \frac{N}{L_x L_y} =: n_L =: \text{Flächendichte}$$

$$\Leftrightarrow R_{yx} = \boxed{\frac{B_z}{q c n_L}}$$

"klassischer  
Hall-Effekt"

Was wird beobachtet?



### Quantenmechanisch

Darstellung von  $\vec{B} = B_z \hat{e}_z$ ,  $\vec{E} = E_y \hat{e}_y$ :

$$\vec{A} = (-\gamma B_z, 0, 0), \quad \phi = -\gamma E_y$$

$$\Rightarrow \hat{H} = \frac{1}{2m} \left\{ (-i\hbar \partial_x + \frac{qB_z}{c} y)^2 - \hbar^2 \partial_y^2 - \hbar^2 \partial_z^2 \right\} - q\gamma E_y$$

Es gilt immer noch  $[\partial_x, \hat{H}] = [\partial_z, \hat{H}] = 0$ , so dass wir uns dem Ansatz

$$\psi(x, y, z) = \tilde{\psi}(y) e^{i(k_x x + k_z z)}$$

dienen können. Das "senkrechte" Problem reduziert sich also auf eine eindimensionale Gleichung:

$$\left\{ -\frac{\hbar^2 \partial_y^2}{2m} + \frac{1}{2m} \left( \pm k_x + \frac{qB_z}{c} y \right)^2 - q\gamma E_y \right\} \tilde{\psi}(y) = \tilde{E} \tilde{\psi}(y)$$

$$\underbrace{\frac{\hbar^2 k_x^2}{2m} + \hbar k_x \cdot \frac{qB_z}{mc} y + \frac{m}{2} \left( \frac{qB_z}{mc} y \right)^2}_{= \frac{m\omega_B^2}{2} (y - y_0)^2} - qE_y \cdot y$$

$$=: \frac{m\omega_B^2}{2} (y - y_0)^2 + \sum_j \quad ; \quad w_B = \frac{qB_z}{mc}$$

$$= \frac{m\omega_B^2}{2} y_0^2 + \tilde{E}' - m\omega_B^2 y_0 y + \frac{m}{2} (w_B y)^2$$

Es folgt:

$$\begin{cases} \hbar k_x w_B - qE_y = -m\omega_B^2 y_0 & \Rightarrow y_0 = -\frac{\hbar k_x}{m\omega_B} + \frac{qE_y}{m\omega_B^2} \\ \frac{\hbar^2 k_x^2}{2m} = \frac{m\omega_B^2}{2} y_0^2 + \tilde{E}' \end{cases}$$

$$\Downarrow$$

$$\begin{aligned} \tilde{E}' &= \frac{\hbar^2 k_x^2}{2m} - \frac{m\omega_B^2}{2} \left( \frac{\hbar k_x}{m\omega_B} + \frac{qE_y}{m\omega_B^2} \right)^2 \\ &= \frac{\hbar k_x \cdot qE_y}{m\omega_B} - \frac{(qE_y)^2}{2m\omega_B^2}; \\ k_x &= \frac{2\pi}{L_x} \cdot n_x, \quad n_x \in \mathbb{Z} \end{aligned}$$

Wie auf Seite 34:  $0 < y_0 \leq L_y \Rightarrow$  Entartung  $N = \frac{B_z L_x L_y}{\Phi_0}$ ;  $\Phi_0 = \frac{hc}{q}$  = Flussquantum.  
Aber Energie hängt jetzt von  $k_x$  ab  $\Rightarrow$  Entartung erhoben!

Genauer:

$$n_x := -n_{\min} - n', \quad n' = 1, \dots, N_{\max}$$

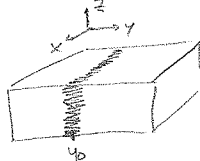
$$\hbar k_x = -\frac{2\pi\hbar}{L_x} (n_{\min} + n')$$

$$y_0 = \underbrace{\frac{qE_y}{m\omega_B^2}}_{:=0} + \underbrace{\frac{2\pi\hbar}{m\omega_B L_x} n_{\min}}_{\leq L_y} + \underbrace{\frac{2\pi\hbar c}{qB_z L_x} n'}_{\leq L_y}$$

$$\tilde{E}' = +\frac{(qE_y)^2}{2m\omega_B^2} - qE_y y_0$$

Spektrum:  $\tilde{E} = \hbar |w_B| \left( n + \frac{1}{2} \right) + \frac{m}{2} \left( \frac{cE_y}{B_z} \right)^2 - \frac{h c E_y}{B_z L_x} \cdot n'; \quad n = 0, 1, 2, \dots; \quad n' = 1, \dots, \frac{B_z L_x L_y}{\Phi_0}$

Stromdichte:



$$\begin{aligned} j_x &= \frac{i}{m} \operatorname{Im} \left\{ \psi^* \left( ik_x - \frac{iq}{\hbar c} A_x \right) \psi \right\} \\ &= \frac{i}{m} \operatorname{Im} \left\{ \tilde{\psi}^*(y) \left( ik_x + i \frac{qB_z}{\hbar c} y \right) \tilde{\psi}(y) \right\} \\ &= |\tilde{\psi}(y)|^2 \left\{ \frac{\hbar k_x}{m} + i\omega_B y \right\} \end{aligned}$$

$$\text{Mittelwert: } \langle j_x \rangle = \frac{1}{L_y} \int_0^{L_y} j_x(y) dy = \frac{\hbar k_x}{m} + \omega_B y_0 = \frac{\hbar k_x}{m} - \frac{\hbar k}{m} + \frac{qE_y}{m\omega_B} = c \cdot \frac{E_y}{B_z}$$

Also genau wie die klassische Geschwindigkeit auf Seite 35!

Bemerkung: Es muß natürlich  $\frac{\langle v_x \rangle}{c} = \frac{E_y}{B_z} \ll 1$  gelten; andernfalls darf die Reibung nicht vernachlässigt werden!

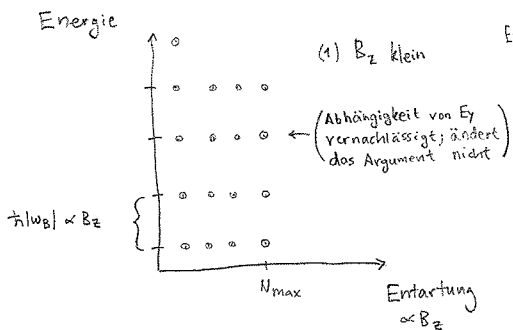
Fazit:

$$\tilde{E} = \hbar |w_B| \left( n + \frac{1}{2} \right) + \frac{1}{2} m \langle v_x \rangle^2 - \underbrace{\frac{h \langle v_x \rangle}{L_x} \cdot n'}_{qE_y \cdot y_0}, \quad n \in \{0, 1, 2, \dots\} \\ n' \in \left\{ 1, \dots, \frac{B_z L_x L_y}{\Phi_0} \right\}$$

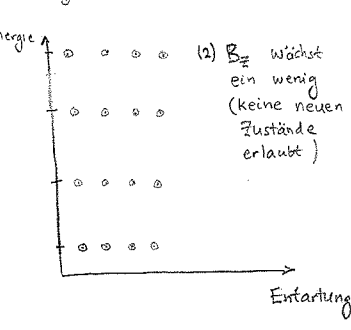
Also was passiert?

Bis jetzt ging es um Einteilchenzustände.

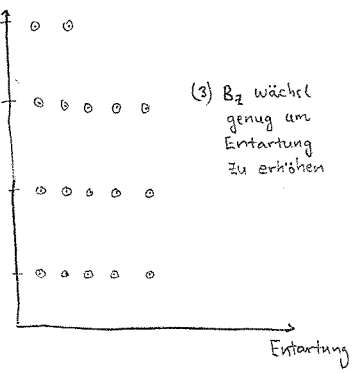
In der Praxis haben wir N Elektronen und müssen die Einteilchenzustände bis zur Fermi-Fläche erfüllen.



$\nu = 4$  Niveaus voll  
⇒ Wenige freie Streuzustände vorhanden  
⇒  $R_{yy} \approx 0$



$\nu = 4$  Niveaus voll



Während Umfüllung „viel Bewegung“  
⇒ Streuung mit wenig Energie möglich ⇒  $R_{yy} \neq 0$ .

Zustandsdichte:

$$n_{\perp} = \frac{\nu N_{\max}}{L_x L_y} = \nu \cdot \frac{B_z}{\Phi_0}$$

Zustandsdichte:

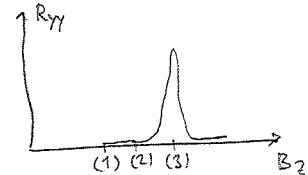
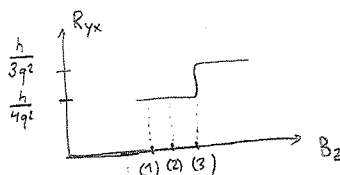
$$n_{\perp} = \nu \cdot \frac{B_z}{\Phi_0}$$

Zustandsdichte:

$$n_{\perp} = (3 \dots 4) \frac{B_z}{\Phi_0}$$

$$R_{yx} = \frac{B_z}{qc n_{\perp}} = \frac{\Phi_0}{\nu \cdot qc} = \frac{h}{\nu q^2}; \nu = 4$$

$$R_{yx} = \frac{h}{(3 \dots 4) q^2}$$



Warnung: Diese Diskussion ist hoch idealisiert!

Bemerkung:

Es wurden auch Niveaus mit Bruchzahlen gefunden („gebrochenzahliger“ bzw. „fraktionaler“ Quanten-Hall-Effekt).

Die Erklärung scheint viel schwieriger zu sein, und hat etwas mit Elektron-Elektron-Wechselwirkungen zu tun.

⇒ Nobel-Preis 1998 [Laughlin, Störmer, Tsui].

\* Einzelne Elektronen werden um Unreinheiten lokalisiert (?).